Journal of Organometallic Chemistry, 243 (1983) C27—C30 Elsevier Sequoia S.A., Lausanne — Printed in The Netherlands

Preliminary communication

ELEKTROCHEMIE VON ÜBERGANGSMETALL-π-KOMPLEXEN

VI*. ELEKTROCHEMISCHE OXIDATION VON DECAMETHYLRUTHENOCEN

U. KOELLE* und A. SALZER

Institut für Anorganische Chemie der Technischen Hochschule Aachen, Professor-Pirlet-Strasse 1, D-5100 Aachen (B.R.D.) und Anorganisch-Chemisches Institut der Universität Zürich, Winterthurerstrasse 190, CH-8057 Zürich (Schweiz)

(Eingegangen den 25. Oktober 1982)

Redoxuntersuchungen an den neutralen d^6 -Metallocenen MCp_2 , $Cp = \eta^5 \cdot C_5H_5$, M = Fe, Ru, Os [2] hatten zu einem ungewöhnlichen Ergebnis geführt: neben dem Ferrocen konnte nur das Osmocen, nicht aber das Ruthenocen in einer Einelektronenoxidation in das betreffende Monokation $[MCp_2]^+$ überführt werden. Stattdessen verlief die Oxidation des Ruthenocens chemisch irreversibel mit der Abgabe von zwei Elektronen. An der Hg-Elektrode oder bei der chemischen Oxidation mit HgCl₂ wurde das Kation $[(RuCp_2)_2Hg]^{2+}$, mit FeX₃ die Kationen $[RuCp_2X]^+$ erhalten.

Da sich in jüngster Zeit an verschiedenen Beispielen aus der Metallocenreihe [3,4] gezeigt hatte, dass eine vollständige Methylierung der Cyclopentadienyl-Liganden sonst wenig beständige Oxidationsstufen und Elektronenkonfigurationen beträchtlich stabilisiert, erschien es uns reizvoll, die elektrochemische Oxidation des Decamethylruthenocens, I, zu untersuchen.

Die Verbindung ist in mässigen Ausbeuten durch Reaktion von RuCl₃ mit C₅Me₅H in Gegenwart von Zn-Staub nach der allgemeinen Methode von Vitulli et al. [5] zugänglich. Sie bildet farblose luftstabile Kristalle, die in unpolaren Lösungsmitteln sehr gut löslich sind.

Darstellung

8 ml C₅Me₅H und 20 ml abs. Ethanol werden mit 5 g Zn-Staub in einem 250 ml Rundkolben vermischt. Unter Rühren wird langsam eine konzentrierte Lösung von 2 g RuCl₃·x H₂O (41.4% Ru) in Ethanol zugetropft und noch eine Stunde gerührt. Nach Abziehen des Lösungsmittels wird der Rückstand mit 100 ml Hexan extrahiert. Abziehen des Hexans und zweimalige Umkristal-

^{*}Mitteilung V siehe Ref. 1.

lisation aus siedendem Ethanol liefert 550 mg I (18%, bezogen auf Ru) als farblose Nadeln. Ber.: C 64.65, H 8.14. C₂₀H₃₀Ru (371.5): gef.: C 64.43, H 8.22%. Molmasse (massenspektrom. bezogen auf ¹⁰²Ru) 372.

Elektrochemische Ergebnisse

Das cyclische Voltammogramm von I in $\mathrm{CH_2Cl_2}$ (10^{-3} M, Leitelektrolyt 0.1 M Tetrabutylammonium-hexafluorophosphat, TBAH) (Fig. 1b) weist einen nach allen elektrochemischen Kriterien reversiblen ($E_\mathrm{p}^\mathrm{a}-E_\mathrm{p}^\mathrm{c}=60~\mathrm{mV}$, $i_\mathrm{p}^\mathrm{c}/i_\mathrm{p}^\mathrm{a}=1$ bei allen Durchlaufgeschwindigkeiten v zwischen 20 $\mathrm{mV/s}$ und 200 $\mathrm{mV/s}$) Elektronenübergang mit einem Mittelpotential \bar{E} (= $1/2(E_\mathrm{p}^\mathrm{a}+E_\mathrm{p}^\mathrm{c})=+0.55~\mathrm{V}$ (Referenz ges. Kalomelektrode) auf. Elektrochemisch aktive Folgeprodukte sind im Cyclovoltammogramm auch bei v 20 $\mathrm{mV/s}$ nicht zu erkennen. Anodisch folgt eine zweite, irreversible Oxidation mit einem Peakpotential bei v 1.25 V .

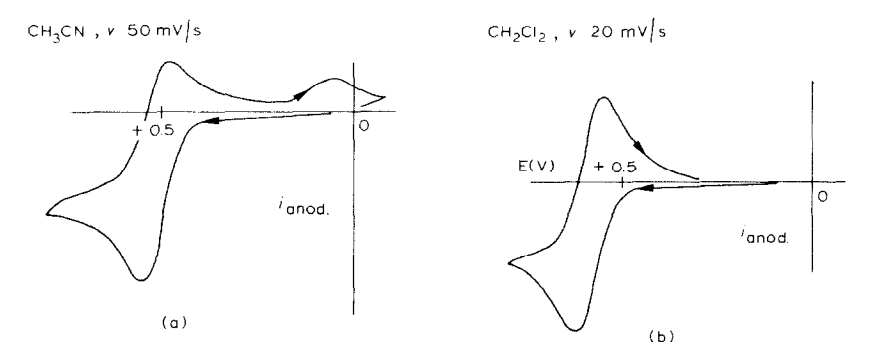


Fig. 1 (a). Cyclisches Voltammogramm von $Ru(C_5 Me_5)_2$ in Acetonitril (Pt-Elektrode, v 50 mV/s. (b) Cyclisches Voltammogramm von $Ru(C_5 Me_5)_2$ in Methylenchlorid (v 20 mV/s).

Das differentielle Pulspolarogramm (statische Hg-Elektrode, EG & G, SMDC 404, v 2 mV/s) besitzt einen anodischen Peak bei demselben Potential, gefolgt von einer weniger ausgeprägten Oxidation ($E_{1/2}$ +0.7 V), die möglicherweise der Bildung des Ruthenium(IV)-Komplexes zuzuschreiben ist. Kalibrierung der Peakhöhe der ersten Oxidation mit Decamethylferrocen als internem Standard lieferte für den Übergang $I^{0/n+}$ eine scheinbare Elektronenzahl n=1.2, d.h. es liegt Einelektronenoxidation zum Monokation [Ru(C_5Me_5)₂] + vor.

In Acetonitril erfolgt die Oxidation von I an der Pt-Elektrode bei fast gleichem Potential (\bar{E} = +0.52 V gegen ges. Kalomelelek., +0.54 V gegen int. Decamethylferrocen mit \bar{E} = -0.08 V [4a]), jedoch nur bei höheren Durchlaufgeschwindigkeiten chemisch reversibel (Fig. 1a). Der kathodische Durchlauf weist das Folgeprodukt eines EC-Schrittes auf und dementsprechend variiert das Peakstromverhältnis zwischen 0.50 bei v 20 mV/s und 1.0 bei v 1000 mV/s. Offensichtlich wird das elektrophile Monokation im stärker koordinierenden Lösungsmittel abgebaut.

Die Elektrolyse von I (10⁻³ M in CH₂Cl₂/TBAH) auf dem Plateau der ersten Oxidation lieferte eine rote Lösung, die etwa im Verlaufe einer Stunde

ihre Farbe nach braun und schliesslich grün änderte. Rückelektrolyse innerhalb von 1/2 Stunde erforderte noch ca. 70% der anodisch verbrauchten Ladungsmenge.

Die chemische Oxidation gelingt z.B. mit $AgBF_4$ in CH_2Cl_2 und lieferte eine bräunlichrote Kationenlösung (λ_{max} 500 nm, ϵ_{max} 730 l mol⁻¹ cm⁻¹), die unterhalb Raumtemperatur über einige Stunden beständig ist. Das Kation [I] wurde durch sein ESR-Spektrum in gefrorenem CH_2Cl_2 bei 77 K charakterisiert. Wie Fig. 2 zeigt, findet man ein axiales System mit $g_{\parallel} > g_{\perp}$ ohne Anzeichen einer rhombischen Verzerrung. Anders als beim Ferricenium-Kation, [II] , mit ausgeprägter g-Anisotropie ($g_{\parallel} = 4.35, g_{\perp} = 1.26$ [6]) liegen in [I], bedingt durch die grössere e_2 -Aufspaltung, beide g-Faktore nahe beim Wert g_e (2.002). Aus der Tatsache, dass beide g-Faktore >2 gefunden werden, muss auch in [I] auf eine $E(e_{2g} a_{1g})$ -Konfiguration wie in [II] geschlossen werden.

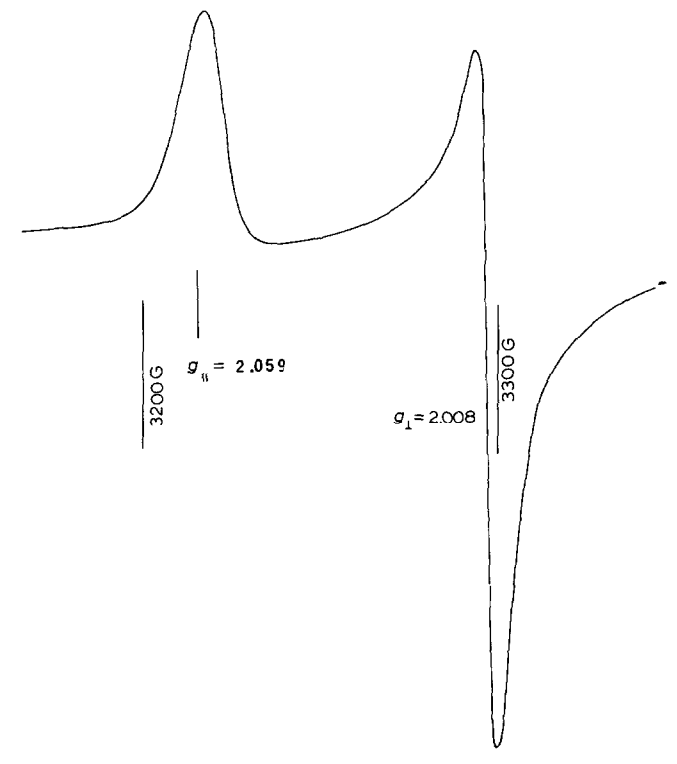


Fig. 2. ESR-Spektrum von $Ru(C_5 Me_5)_2 BF_4$ in Methylenchlorid bei 77 K (ν 9.267 GHz, Feldmodulation 1.25 G_{DD}).

Wir danken der Deutschen Forschungsgemeinschaft für die Unterstützung dieser Arbeit. Ferner danken wir Herrn Dipl.-Chem. H.J. Högger für seine experimentelle Mitarbeit und Herrn Prof. J. Ammeter und Herrn Dr. B.L. Ramakrishna für hilfreiche Diskussionen.

Literatur

- 1 V. Mitteilung, U. Koelle und H. Werner, J. Organometal. Chem., 221 (1981) 367.
- 2 L.I. Denisovich, N.V. Zakurin, A.A. Bezrukova und S.P. Gubin, J. Organometal. Chem., 81 (1974) 207 und dort angegeb. Lit.
- 3 J.C. Smart und J.L. Robbins, J. Am. Chem. Soc., 100 (1978) 3936.
- 4 (a) U. Koelle und F. Khouzami, Angew. Chem., 92 (1980) 658, Angew. Chem. Int. Ed. Engl., 19 (1980) 640; (b) U. Koelle, F. Khouzami und H. Lueken, Chem. Ber., 115 (1982) 1178.
- 5 P. Perticci, G. Vitulli und L. Porri, J. Chem. Soc., Chem. Commun., (1975) 846.
- 6 Fur eine Diskussion s. K.D. Warren in Structure and Bonding 1976, Vol. 27, S. 110 ff.